

УДК 621.317.1

СПЕКТРАЛЬНЫЙ АНАЛИЗ ТОКОВ (НАПРЯЖЕНИЙ) В ОДНОФАЗНЫХ И ТРЕХФАЗНЫХ ЦЕПЯХ С ПОМОЩЬЮ ВОЛЬТ-АМПЕРНЫХ ХАРАКТЕРИСТИК

Е.И. Гольдштейн, А.О. Сулайманов, Н.Л. Бацева

Томский политехнический университет

E-mail: sao@tpu.ru

Обобщаются результаты исследований по разработке процедур определения спектральных портретов многочастотных сигналов с помощью вольт-амперных характеристик. Площадь вольт-амперной характеристики исходного и опорного сигналов минимальна при совпадении частот этих сигналов, а при совпадении фаз площадь стремится к нулю.

1. Общие соображения

Широкое использование в энергосистемах цифровых регистраторов аварийных событий объясняет большой интерес к теории и практике анализа установившихся процессов в одно- и трехфазных цепях по исходным данным в виде цифровых массивов мгновенных значений токов и напряжений.

Использование геометрической трактовки реактивной мощности Q позволило профессору О.А. Мавевскому получить связь этой мощности с площадью вольт-амперной характеристики (ВАХ) F_{BAX} [1]:

$$Q = \pm \frac{1}{2\pi} F_{BAX}, \quad (1)$$

где знак «+» соответствует перемещению рабочей точки по ВАХ против часовой стрелки (индуктивная нагрузка); знак «-» соответствует емкостной нагрузке.

В [2] показана целесообразность использования формулы (1) в виде

$$Q = \pm \frac{1}{4\pi} \sum_{i=1}^N [u(t_j) - u(t_{j+1})] \cdot [i(t_j) + i(t_{j+1})]. \quad (2)$$

Здесь: $i(t_j)$, $i(t_{j+1})$, $u(t_j)$, $u(t_{j+1})$ – отсчеты мгновенных значений тока и напряжения в моменты времени t_j , $t_{j+1} = t_j + \Delta t$, $t_{j+2} = t_{j+1} + \Delta t$; Δt – шаг дискретизации; T – период сигнала; $N = T/\Delta t$ – число разбиений на периоде сигнала.

Заслуживает внимания тот факт, что при расчетах по формуле (2) принципиально не учитывается взаимодействие разных по частоте гармоник тока и напряжения, поэтому формулы (1, 2) могут быть использованы для спектрального анализа.

В приведенных ниже результатах исследований будем использовать обозначения, принятые для точечного исчисления. Расчетные формулы примут вид:

- для действующих значений тока и напряжения

$$I = \sqrt{\frac{1}{N} \sum_{j=1}^N \|i^2(t_j)\|_{j=1}^N}; \quad U = \sqrt{\frac{1}{N} \sum_{j=1}^N \|u^2(t_j)\|_{j=1}^N};$$

- для активной и реактивной мощностей

$$P = \frac{1}{N} \sum_{j=1}^N \|p(t_j)\|_{j=1}^N = \frac{1}{N} \sum_{j=1}^N \|u(t_j) i(t_j)\|_{j=1}^N;$$

$$Q = \frac{1}{4\pi} \sum_{j=1}^N \|[u(t_j) - u(t_{j+1})][i(t_j) + i(t_{j+1})]\|_{j=1}^N.$$

2. Определение реактивной мощности сдвига в однофазных цепях

На рис. 1 показаны графики тока и напряжения, а также ВАХ для случая:

$$u(t_j) = u_1(t_j) + u_2(t_j) = 300 \sin \omega t_j + 100 \sin 3\omega t_j;$$

$$i(t_j) = i_1(t_j) + i_2(t_j) =$$

$$= 3,8 \sin(\omega t_j - 54^\circ) + 0,513 \sin(3\omega t_j - 75,1^\circ).$$

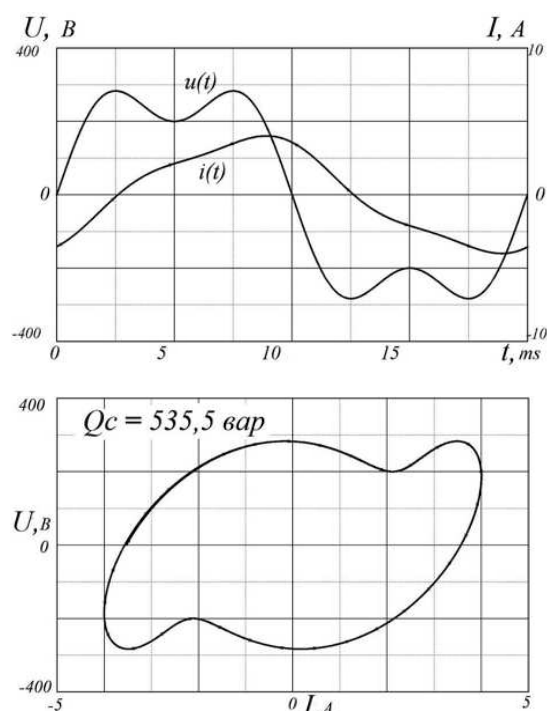


Рис. 1. Графики $u(t)$, $i(t)$ и ВАХ $i(u)$ для однофазной цепи

Легко видеть, что $Q_{cx} = Q_c^a + Q_c^e = 535,46$ вар, тогда как мощности сдвига, обусловленные взаимодействием разных по частоте гармоник тока и напряжения, равны нулю $Q_c^e + Q_c^e = 0$.

3. Спектральный анализ многочастотных сигналов с помощью вольт-амперных характеристик

В ходе детального исследования методики расчета реактивной мощности по ВАХ была выявлена возможность проведения на ее основе спектрального анализа многочастотного сигнала $a(t)$ с помощью опорного одночастотного сигнала $b(t)$ [5]:

$$a(t_j) = \sum_{k=1}^{\infty} A_{mk} \sin(\omega_k t_j + \varphi_k);$$

$$b(t_j) = B_m \sin(\omega_0 t_j + \varphi_0),$$

здесь: A_{mk} , ω_k , φ_k – амплитуда, круговая частота и фаза k -ой гармоники исследуемого сигнала; $\omega_0 = \text{var}$, $\varphi_0 = \text{var}$ – частота и фаза опорного сигнала.

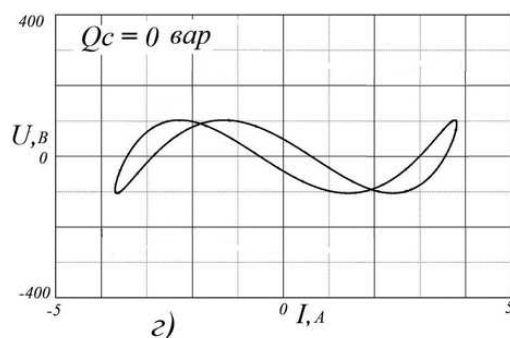
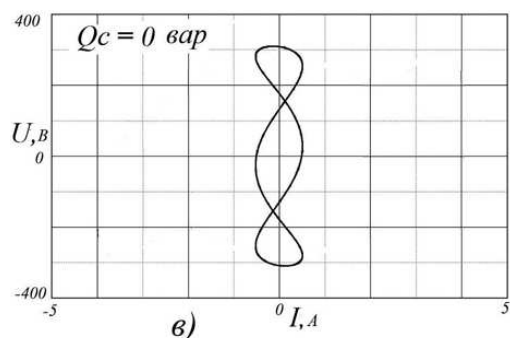
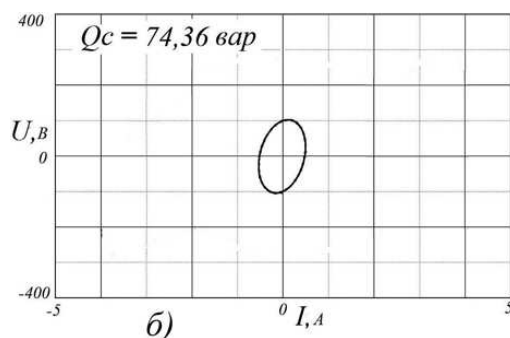
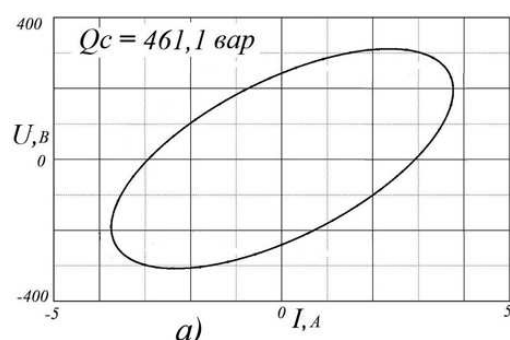


Рис. 2. ВАХ (при $N=1000$) для случаев: а) $u_1(t)$ и $i_1(t)$; б) $u_2(t)$ и $i_2(t)$; в) $u_1(t)$ и $i_2(t)$; г) $u_2(t)$ и $i_1(t)$

Для примера в таблице приведены ВАХ для случая, когда в сигнале имеется составляющая частотой $\omega_k=314,159$ рад/с ($f_k=50$ Гц) при фазе $\varphi_k=0$ и амплитуде $A_{mk}=320$ В.

Изменяя значения частоты и фазы опорного сигнала и контролируя площадь ВАХ, находим $F_{ВАХ \min}$: $f_0=f_k$ при $\varphi_0=\varphi_k$.

Таблица. Процедура поиска частоты анализируемого сигнала

f_0 , Гц	φ_0 , град	$F_{ВАХ \min}$	Вид ВАХ
49	0	6243,51	
	120	82820,69	
	180	-6243,51	
50	0	$6,21 \cdot 10^{-12}$	
	120	87048,05	
	180	$4,1 \cdot 10^{-5}$	
	90	100514	

Как видно из таблицы, в случае, когда опорный сигнал $b(t)$ не совпадает по частоте с анализируемым сигналом, ВАХ получается не замкнутой. При совпадении частот ВАХ замкнута, либо вырождается в прямую в случае совпадения фазы.

Для определения амплитуды гармоники частотой 50 Гц используем тот факт, что площадь ВАХ и реактивная мощность сдвига максимальны, что соответствует максимальному значению реактивной мощности при $\varphi'_k = \varphi_k \pm 90^\circ$. Амплитуда k -той составляющей сигнала найдется по формуле

$$A_{mk} = \frac{\frac{1}{2\pi} F_{\text{ВАХ max}}}{\frac{1}{2} B_{mk}}$$

СПИСОК ЛИТЕРАТУРЫ

1. Маевский О.А. Энергетические показатели вентильных преобразователей. — М.: Энергия, 1978. — 320 с.
2. Функциональный контроль и диагностика электромеханических и электротехнических устройств и систем по цифровым отсчетам мгновенных значений токов и напряжений / Под ред. Е.И. Гольдштейна. — Томск: Печатная мануфактура, 2003. — 240 с.
3. Пат. на ПМ 41373 РФ. МПК⁷ G01R 21/00. Устройство для измерения реактивной мощности сдвига в трехфазной трехпровод-

ной цепи переменного тока / Е.И. Гольдштейн, А.О. Сулайманов. Заявлено 07.06.2004.

4. Заключение

Полученная методика определения спектра многочастотного сигнала с помощью вольт-амперной характеристики является законченной и вполне работоспособной для широкого спектра сигналов. Все формулы методики легко трансформируются для обработки массивов цифровых отсчетов.

4. Пат. на ПМ 41158 РФ. МПК⁷ G01R 25/00. Устройство для измерения коэффициента мощности в трехфазной трехпроводной цепи переменного тока / Е.И. Гольдштейн, А.О. Сулайманов. Заявлено 31.03.2004.
5. Пат. 2229725 РФ. МПК⁷ G01R 23/16. Способ спектрального анализа периодического многочастотного сигнала / Е.И. Гольдштейн, Н.Л. Бацева. Заявлено 12.11.2002; Опубл. 27.05.2004; Бюл. № 15. — 11 с.: ил.